

01;10

## О токе кольцевого пучка электронов с виртуальным катодом в трубе дрейфа

© С.Я. Беломытцев, А.А. Гришков, С.Д. Коровин, В.В. Рыжов

Институт сильноточной электроники СО РАН, Томск

E-mail: ryzhov@to.hcei.tsc.ru

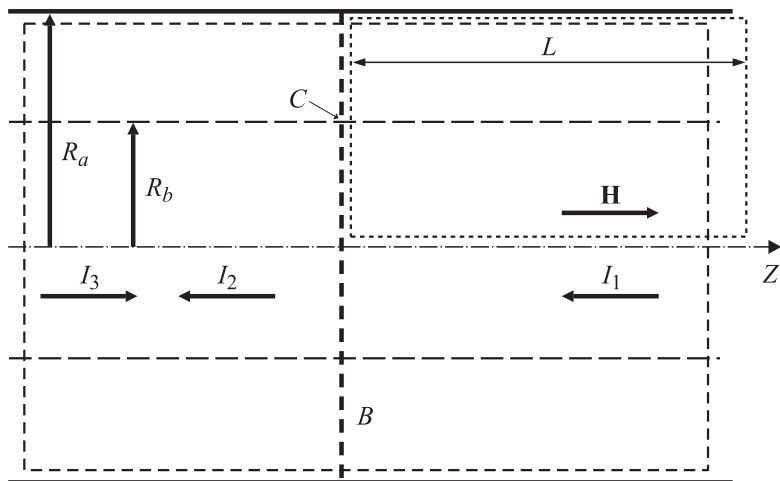
Поступило в Редакцию 11 марта 2003 г.

На основе законов сохранения энергии и  $z$ -компоненты импульса поля и частиц показано, что в стационарных состояниях замагниченный тонкий кольцевой пучок электронов в однородной трубе дрейфа за виртуальным катодом находится в „сжатом“ состоянии (на левой медленной ветви токопрохождения), а значения его релятивистского фактора  $\gamma$  лежат в интервале  $1 \leq \gamma \leq \Gamma^{1/3}$ . При этом ток пучка за виртуальным катодом  $I_1$  может иметь значение от нуля до предельного  $I_{\text{lim}}$  для однородной трубы дрейфа, а прямой  $I_2$  и отраженный  $I_3$  от виртуального катода токи для каждого стационарного состояния однозначно связаны с  $I_1$ , и их значения лежат в интервалах  $I_F/2 \leq I_2 \leq I_{\text{lim}}$ ,  $0 \leq I_3 \leq I_F/2$ , где  $I_F$  — ток Федосова.

Вопрос о виртуальном катоде (ВК) имеет важное значение при решении проблемы генерации СВЧ излучения в виркаторах [1]. В связи с намечившейся дискуссией о токах после ВК [2,3] мы на простом примере покажем, что ток после ВК в стационарном случае может иметь значение от нуля до предельного. При этом будем находить возможные стационарные состояния, не исследуя их устойчивость и способы реализации.

Пусть имеем однородную трубу транспортировки с тонким кольцевым пучком электронов. Электронный пучок инжектируется слева. Труба имеет электростатический потенциал анода и находится в сильном ведущем продольном магнитном поле с напряженностью  $\mathbf{H}$  (рис. 1), параллельной оси трубы.

Покажем, что кроме тривиального случая — однородного прохождения пучка в трубе — возможно состояние пучка с ВК. Предположим, что в плоскости  $B$  ( $z = \text{const}$ ) образуется азимутально-симметричный ВК. Мы исследуем, какой ток проходит за ВК при стационарном состоянии пучка. Выделим объем (на рис. 1 штрихованной линией



**Рис. 1.** Схема однородной трубы транспортировки с тонким трубчатым электронным пучком:  $R_a$  — радиус трубы,  $R_b$  — радиус пучка;  $I_1$ ,  $I_2$ ,  $I_3$  — проходящий, прямой и отраженный от ВК токи соответственно. Плоскость  $B$  — положение ВК. Область расчета отмечена мелкоштриховой линией. Точка  $C$  — место фиктивного катода.

показана граница объема) такой, чтобы на его левой и правой границах можно было считать параметры поля и пучка не зависящими от  $z$ . Из закона сохранения энергии легко получить соотношения, связывающие ток пучка с его электростатическим потенциалом  $\phi_b$  на правой и левой границах соответственно:

$$I_1 = \frac{I_0}{2 \ln(R_a/R_b)} \frac{(\Gamma - \gamma_1) \sqrt{\gamma_1^2 - 1}}{\gamma_1}, \quad (1)$$

$$I_2 + I_3 = \frac{I_0}{2 \ln(R_a/R_b)} \frac{(\Gamma - \gamma_2) \sqrt{\gamma_2^2 - 1}}{\gamma_2}, \quad (2)$$

где  $I_0 = mc^3/e$ ,  $\Gamma = 1 + eU/mc^2$ ,  $\gamma = 1 + e\phi_b/mc^2$ ,  $U$  — электростатический потенциал анодной трубы,  $m$  — масса электрона,  $e$  — электрический заряд электрона,  $c$  — скорость света в вакууме.

Обозначим через  $\alpha = I_3/I_2$  коэффициент отражения тока пучка от ВК. Так как  $I_1 = I_2 - I_3$ , то  $0 \leq \alpha \leq 1$  и

$$I_2 + I_3 = I_1 \frac{(1 + \alpha)}{(1 - \alpha)}. \quad (3)$$

Из (1)–(3) получим

$$\frac{(1 - \alpha)(\Gamma - \gamma_2)\sqrt{\gamma_2^2 - 1}}{(1 + \alpha)\gamma_2} = \frac{(\Gamma - \gamma_1)\sqrt{\gamma_1^2 - 1}}{\gamma_1}. \quad (4)$$

Чтобы получить дополнительное соотношение, связывающее  $\gamma_1$  и  $\gamma_2$ , воспользуемся законом сохранения потока  $z$ -компоненты импульса поля и частиц в выделенном объеме. Так как рассматриваются стационарные состояния, то  $z$ -компонента импульса в объеме постоянна, а следовательно, поток  $z$ -компоненты импульса поля и частиц через границу объема равен нулю. Несложные вычисления с использованием максвелловского тензора напряжений [4] приводят к соотношению

$$(\Gamma - \gamma_1)^2 + \frac{2(\Gamma - \gamma_1)(\gamma_1^2 - 1)}{\gamma_1} = (\Gamma - \gamma_2)^2 + \frac{2(\Gamma - \gamma_2)(\gamma_2^2 - 1)}{\gamma_2}, \quad (5)$$

являющемуся следствием закона сохранения  $z$ -компоненты импульса в системе.

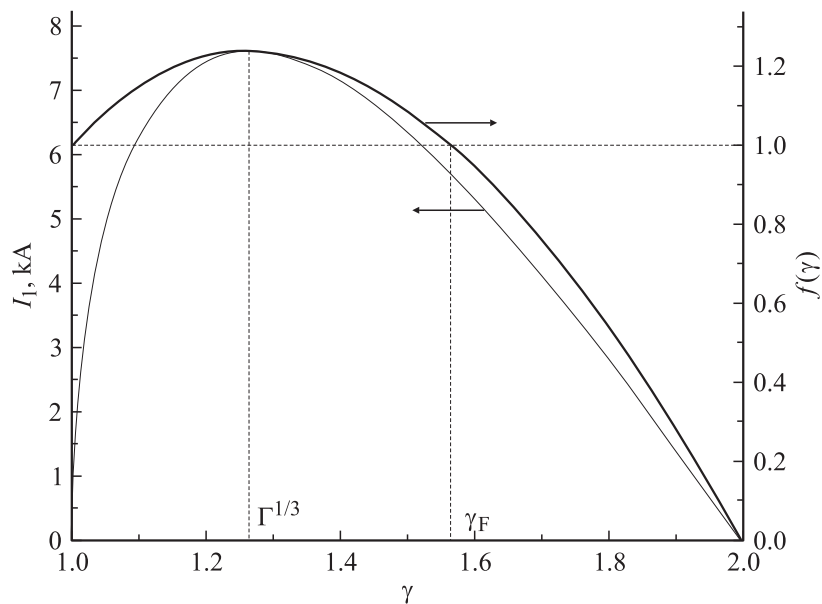
Обозначим

$$f(\gamma) = (\Gamma - \gamma)^2 + \frac{2(\Gamma - \gamma)(\gamma^2 - 1)}{\gamma}. \quad (6)$$

Тогда (5) запишется в виде

$$f(\gamma_1) = f(\gamma_2). \quad (7)$$

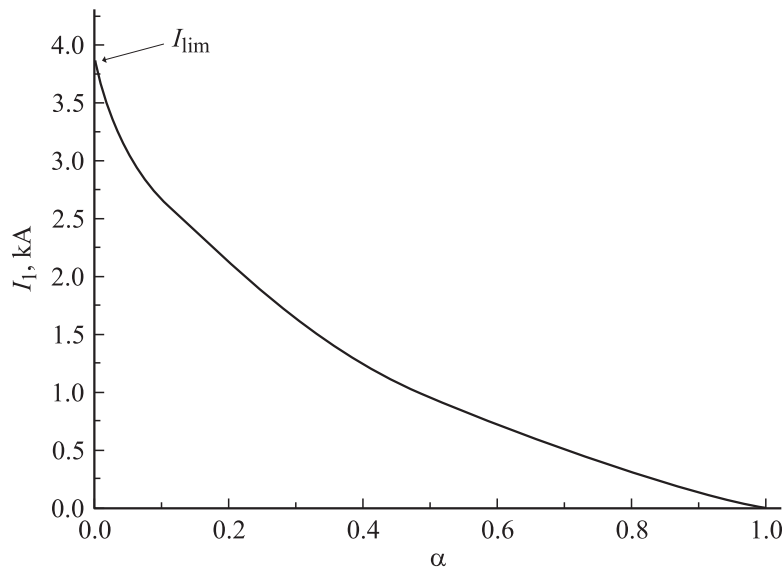
Кроме тривиального решения  $\gamma_1 = \gamma_2$ , уравнение (7) имеет решения и при  $\gamma_1 \neq \gamma_2$ . Действительно, функция  $f$  имеет максимум при  $\gamma = \Gamma^{1/3}$  (рис. 2) и  $f_{\max} = (\Gamma^{2/3} - 1)^2(\Gamma^{2/3} + 2)$ , а для  $(\Gamma - 1)^2 \leq f < f_{\max}$  релятивистский фактор  $\gamma$  имеет два значения. Так, при  $f = (\Gamma - 1)^2$   $\gamma = 1$  и  $\gamma = \gamma_F = -0.5 + \sqrt{2\Gamma + 0.25}$ , где  $\gamma_F$  — релятивистский фактор в пучке с так называемым током Федосова  $I_F$ , который получен для тонкого пучка в коаксиальном диоде с магнитной изоляцией (КДМИ) [5].



**Рис. 2.** Зависимость проходящего тока и  $f$  от релятивистского фактора  $\gamma$ ;  $\Gamma = 2$ ;  $2 \ln(R_a/R_b) = 1$ .

Ток (1) имеет максимум (предельный ток) при  $\gamma_1 = \Gamma^{1/3}$ , и его график приведен на рис. 2. Оказывается, для выполнения уравнения (4) необходимо, чтобы  $\gamma_1$  лежала на левой ветви кривой токопрохождения тонкого кольцевого пучка в трубе (рис. 2). Тогда  $0 \leq \alpha \leq 1$ , что соответствует физическому смыслу коэффициента отражения. Это состояние соответствует „сжатому“ состоянию пучка, рассмотренному в работе [6].

График зависимости  $I_1 \ln(R_a/R_b)$  от  $\alpha$  при  $\Gamma = 2$  приведен на рис. 3, из которого видно, что ток за ВК может принимать значения от нуля до  $I_{\text{lim}}$  для однородной трубы дрейфа. Так как ток  $I_1$  однозначно связан с коэффициентом отражения  $\alpha$ , то прямой  $I_2$  и отраженный  $I_3$  от ВК токи для каждого  $I_1$  также однозначно определены, т.е. проходящий за ВК ток однозначно определяет состояние рассмотренной системы.



**Рис. 3.** Зависимость проходящего тока от коэффициента отражения  $\alpha$ ;  $\Gamma = 2$ ;  $2 \ln(R_a/R_b) = 1$ .

При  $\alpha = 0$  весь ток без отражения проходит через ВК и равен предельному

$$I_1 = I_2 = I_{\text{lim}} = \frac{I_0}{2 \ln(R_a/R_b)} (\Gamma^{2/3} - 1)^{3/2}. \quad (8)$$

Следовательно, при образовании ВК в однородной трубе дрейфа скачок тока отсутствует. При  $\alpha = 1$  весь ток отражается от виртуального катода, т.е.  $I_2 = I_3$ , причем:

$$I_2 = I_3 = \frac{I_F}{2} = \frac{I_0}{4 \ln(R_a/R_b)} \frac{(\Gamma - \gamma_F) \sqrt{\gamma_F^2 - 1}}{\gamma_F}. \quad (9)$$

Отметим, что в работе [5] при решении задачи о токе в КДМИ из условия сохранения  $z$ -компоненты импульса для релятивистского фактора пучка получено значение  $\gamma = \gamma_F$ . При этом естественно считалось, что поток электронов направлен в одну сторону от катода и  $I = I_F$ .

В общем случае для заданного  $\gamma_F$  ток в системе может принимать любое значение в пределах  $-I_F \leq I \leq +I_F$ , так как поток  $z$ -компоненты импульса и для поля, и для частиц не зависит от знака скорости электронов. В случае, когда все электроны отражаются от ВК ( $\alpha = 1$ ), проходящий через трубу ток равен нулю  $I_1 = 0$ . Это означает, что справа пучок стоит с плотностью заряда, равной плотности заряда на катоде в КДМИ, а слева ток Федосова разбит на две половинки, т.е. пучок с током  $I_F/2$  идет направо и такой же пучок — налево.

Для проверки полученных результатов было проведено моделирование транспортировки электронного пучка в трубе дрейфа с помощью электромагнитного кода „КАРАТ“ [7] для специально подобранных граничных условий на фиктивном катоде. В связи с тем что получить ВК при расчете транспортировки пучка электронов в гладкой трубе не представляется возможным, в численных расчетах в месте минимума потенциала в пучке (плоскость  $B$ ) располагался фиктивный катод  $C$ , на котором задавались условия (значение потенциала  $\varphi_C$  и его нормальная производная  $\partial\varphi/\partial\mathbf{n}$ ), имитирующие условия в минимуме потенциала пучка. Геометрия расчетной области приведена на рис. 1.

Пучок электронов эмитировался с фиктивного катода  $C$ , имеющего форму полутороида (полуокружность в области расчета на рис. 1) с большим радиусом  $R_a = 1$  см и малым  $R_k = 0.0025$  см, радиус трубы транспортировки  $R_a = 1$  см. Электростатический потенциал анодной трубы  $U = 511$  кВ. Область расчета находилась в продольном однородном ведущем магнитном поле напряженностью  $H = 500$  кОе. Электростатический потенциал катода  $\varphi_C$  варьировался от нуля до  $\varphi_{\text{lim}} \approx 133$  кВ, соответствующего потенциалу однородного пучка с предельным током  $I_{\text{lim}}$  в трубе транспортировки. Длина области транспортировки  $L = 5$  см. Энергия электронов, инжектируемых с катода  $C$ , соответствовала потенциалу катода, т.е. скорость электронов на катоде определялась соотношением  $V_C = c(\gamma_C^2 - 1)^{1/2}/\gamma_C$ . Это соответствует нулевой скорости электронов на реальном катоде, расположенном далеко слева от плоскости  $B$ . На левой, правой и нижней границах расчетной области задавалось условие Неймана второго рода  $\partial\varphi/\partial\mathbf{n} = 0$ . На нижней границе выполнение этого условия связано с тем, что она является осью симметрии задачи, а на правой — тем, что эта граница находится в области регулярной транспортировки, где потенциал уже не зависит от координаты  $z$ . Условие  $\partial\varphi/\partial\mathbf{n} = 0$  на левой границе соответствует симметричному состоянию пучка относительно плоскости  $B$ , т.е. при

$\varphi_C = 0$  катод будет имитировать ВК с  $\alpha = 0$ , а при  $\varphi_C \neq 0$  — минимум потенциала.

В минимуме потенциала компонента напряженности электрического поля  $E_z = 0$ . Поэтому катод  $C$  имеет неограниченную эмиссионную способность, и в расчетах ток эмиссии наращивался до тех пор, пока на катоде напряженность электрического поля не обращалась в нуль.

Были проведены расчеты для  $\varphi_C = 0, 30, 60, 133$  kV. Во всех случаях ток оказался равным предельному  $I_{\text{lim}} \approx 5.6$  kA. Эти расчеты подтверждают, что пучок с  $I_{\text{lim}}$  может находиться в стационарном состоянии с ВК ( $\alpha = 0$ ) в плоскости  $B$ . Кроме того, численно показано, что пучок с  $I_{\text{lim}}$  может иметь любое (от 0 до  $\varphi$ , соответствующего  $\gamma = \Gamma^{1/3}$ ) провисание потенциала в плоскости  $B$ .

Случай с  $\alpha = 1$ , как указывалось выше, соответствует решению КДМИ [5], которое также подтверждено численными расчетами. Так как существование ВК в крайних случаях ( $\alpha = 0, \alpha = 1$ ) подтверждено численными расчетами, очевидно, что и состояния с  $0 < \alpha < 1$  существуют.

Итак, мы видим, что в рассматриваемой простой системе в стационарных состояниях ток пучка за ВК, прямой и отраженный от ВК токи для каждого стационарного состояния однозначно связаны, а их значения лежат в интервалах  $0 \leq I_1 \leq I_{\text{lim}}, I_F/2 \leq I_2 \leq I_{\text{lim}}, 0 \leq I_3 \leq I_F/2$ , где  $I_F$  — ток Федосова.

## Список литературы

- [1] *Kitsanov S.A., Klimov A.I., Korovin S.D., Kurkan I.K., Pegel I.V., Polevin S.D.* // IEEE Trans. Plasma Sci. 2002. V. 30. N 1. P. 274–285.
- [2] *Дубинов А.Е., Ефимова И.Е.* // ЖТФ. 2001. Т. 71. В. 6. С. 80–86.
- [3] *Ковалев Н.Ф.* // ЖТФ. 2002. Т. 72. В. 7. С. 113–116.
- [4] *Ландау Л.Д., Лифшиц Е.М.* Теория поля. М.: Наука, 1979.
- [5] *Федосов А.И., Литвинов Е.А., Беломытцев С.Я., Бугаев С.П.* // Изв. вузов. Физика. 1977. № 10. С. 134–135.
- [6] *Ignatov A.M., Tarakanov V.P.* // Phys. Plasmas. 1994. V. 1. N 3. P. 741.
- [7] *Tarakanov V.P.* User's manual for code Karat. Berkley Research Associate, Inc. Springfield, VA, 1992.